

УДК 536.3+536.42

Анализ свойств теплового излучения осесимметричных полупрозрачных систем с проницаемыми границами*

Н.А. Рубцов, С.Д. Слепцов

Институт теплофизики им. С.С. Кутателадзе СО РАН, Новосибирск

E-mail: sleptsov@itp.nsc.ru

Представлен численный анализ полусферических значений поглощательной, пропускательной и отражательной способностей плоского слоя и поглощательной способности сферы в зависимости от оптической толщины и показателя преломления.

Ключевые слова: тепловое излучение, полупрозрачная среда, проницаемые границы.

Рассматриваются осесимметричные системы в виде плоского слоя, составленного из излучающей и поглощающей сред с проницаемыми для теплового излучения границами. Проницаемая граница не поглощает излучение, выделяя рассматриваемую систему с показателем преломления n из окружающей среды с показателем преломления n_0 . Излучение является монохроматическим, либо интегральным. Анализ проводится на основе результатов, представленных в работе [1].

Основная идея получения указанных результатов сводится к использованию интегральных уравнений излучения в замкнутых излучающих (и поглощающих) системах с непроницаемой границей для анализа термодинамически равновесного состояния системы.

В этой связи привлекались интегральные уравнения состояния системы, записанные относительно плотности потока полусферического результирующего, $E_{\text{рез}}$, излучения в исходной —

$$E_{\text{рез}}(M) = (1 - R(M)) \int_F E_{\text{эф}}(N) Q(M, N) dF_N + (1 - R(M)) \int_V \eta_{\text{собр}}(P) L(M, P) dV_P - E_{\text{собр}}(M), \quad M \in F, \quad (1)$$

и разрешающей —

$$E_{\text{рез}}(M) = (1 - R(M)) \int_F E_{\text{собр}}(N) \Gamma(M, N) dF_N + (1 - R(M)) \int_V \eta_{\text{собр}}(P) Z(M, P) dV_P -$$

* Работа выполнена при финансовой поддержке Президента РФ (МК-601.2008.8) и РФФИ (грант № 08-08-00527-а).

$$-E_{\text{соб}}(M), \quad M \in F, \quad (2)$$

формах [2]. Здесь

$$\Gamma(M, N) = Q(M, N) + \int_F R(P)Q(M, P)\Gamma(P, N)dF_P, \quad M \in F, \quad N \in F, \quad (3)$$

$$Z(M, P) = L(M, P) + \int_F R(N)\Gamma(M, N)L(N, P)dF_N, \quad M \in F, \quad P \in V \quad (4)$$

— разрешающие ядра интегрального уравнения излучения (2), учитывающие многократные отражения от внутренней поверхности системы F , исходящие из элементарной площадки с точкой $M \in F$ и попадающие либо снова на элементарную площадку с точкой $N \in F$, либо — в элементарный объем $P \in V$.

$$Q(M, N) = e^{-h} \frac{\cos(s, n_M) \cos(s, n_N)}{\pi r_{MN}^2}, \quad L(M, P) = e^{-\Delta h} \frac{\cos(s, n_M)}{4\pi r_{MP}^2} \quad (5)$$

— исходные ядра интегрального уравнения (1), определяющие прямое, без промежуточных отражений, взаимодействие $Q(M, N)$ с площадками с точками $M \in F$ и $N \in F$, а $(L(M, P))$ — с точками $M \in F$ и элементарного объема $P \in V$. $E_{\text{рез}}$,

$E_{\text{эф}} = (E_{\text{соб}} + E_{\text{отр}})$, $E_{\text{отр}} = RE_{\text{пад}}$, $E_{\text{пад}}$, $E_{\text{соб}} = (1-R)E_{\text{в}}$ — плотности потоков полусферических излучений: результирующего, эффективного, собственного, отраженного, падающего и равновесного соответственно, R — коэффициент полусферического отражения от внутренней поверхности системы, $\eta_{\text{соб}} = \alpha' \eta_{\text{в}} = 4\alpha E_{\text{в}}$ — плотность потока сферического собственного излучения.

В уравнении (5) $h = \int_0^r \alpha(s)ds$, $\Delta h = \int_{r^*}^r \alpha(s)ds$, α — коэффициент объемного поглощения излучения, r^* , r — фиксированные и текущие точки, r_{MN} , r_{MP} — расстояния между точками.

Применительно к условиям проницаемой границы системы следует иметь в виду, что плотности потоков собственного объемного ($\hat{\eta}_{\text{соб}}$) и поверхностного ($\hat{E}_{\text{соб}}$) излучений определяются соответственно как $\hat{\eta}_{\text{соб}} = n^2 \eta_{\text{соб}} = 4\alpha n^2 E_{\text{в}}$ и $\hat{E}_{\text{соб}} = n^2 E_{\text{соб}} = n^2 A E_{\text{в}} = n^2 \varepsilon E_{\text{в}}$, где $A = 1 - R$, $\varepsilon = A$, а граница системы является проницаемой по отношению к внешнему и внутреннему излучениям.

Система с проницаемой для излучения границей обладает способностью поглощать излучение, проникающее через ее внешнюю поверхность, пропускать излучение, проникшее в систему и выходящее через ее внутреннюю поверхность, а также отражать падающее на систему излучение наружной и внутренней поверхностями границы.

На проницаемой и непоглощающей границе системы справедливо условие инвариантности встречных потоков излучения:

$$E_{\text{пад}}(M)n^2(1-R(M)) = E_{\text{пад}}^*(M)n_0^2(1-R_0(M)), \quad M \in F, \quad (6)$$

где $E_{\text{пад}}(M)$, $E_{\text{пад}}^*(M)$ — плотности потоков излучения, падающего на элементарную площадку с точкой $M \in F$ изнутри и снаружи системы соответственно.

В рассматриваемых осесимметричных системах полагаем $R(M) = R$, $R_0(M) = R_0$, $E_{\text{пад}}(M) = E_{\text{пад}}$, $E_{\text{пад}}^*(M) = E_{\text{пад}}^*$. В состоянии термодинамического

равновесия системы и окружающей среды $E_{\text{пад}} = E_{\text{пад}}^* = E_{\text{в}}$, а из уравнения (6) вытекает оптический инвариант излучения

$$n^2(1-R) = n_0^2(1-R_0), \quad (7)$$

определяющий соотношение между коэффициентами отражения на внутренней (R) и наружной (R_0) поверхностях при условии $n_0 < n$.

Соотношение (7) справедливо для условий сопряжения двух полубесконечных сред. При этом R_0 для невыгнутой поверхности определяется соотношением Уолша–Данкла [3], вытекающим из формулы Френеля.

Плотность потока излучения, выходящего из системы после однократного отражения от внутренней поверхности и пропуска отраженного излучения средой с учетом (6), определяется следующим образом:

$$RdE_{\text{пад}}n^2(1-R) = RdE_{\text{пад}}^*n_0^2(1-R_0). \quad (8)$$

Здесь

$$d \equiv d(F, F) = \frac{1}{F} \int_F \int_F Q(M, N) dF_N dF_M \quad (9)$$

— интегральное значение пропускательной способности среды, вытекающее из интегрального уравнения (1), которое будучи проинтегрированным по поверхности и рассматриваемым в условиях термодинамического равновесия (при котором $E_{\text{рез}} = 0$, $E_{\text{пад}} = E_{\text{эф}} = E_{\text{в}}$, $\eta_{\text{соб}} = 4\alpha E_{\text{в}}$) вырождается в уравнение замкнутости,

$$d(F, F) + a(F, V) = 1, \quad (10)$$

где

$$a(F, V) = \frac{1}{F} \int_F \int_{FV} \alpha(P)L(M, P) dV_P dF_M \quad (11)$$

— осредненная по поверхности поглощательная способность среды, заполняющей систему [2].

Из анализа соотношений (6) и (8) следует, что плотность потока собственного излучения проницаемой границы $E_{\text{соб}}$ формально подразделяется на две составляющие

$$\hat{E}_{\text{соб}} = \hat{E}_{\text{соб}}^{(1)} + \hat{E}_{\text{соб}}^{(2)}, \quad (12)$$

где

$$\hat{E}_{\text{соб}}^{(1)} = \frac{E_{\text{пад}}^*(1-R_0)n_0^2}{1+Rd}, \quad \hat{E}_{\text{соб}}^{(2)} = \frac{RdE_{\text{пад}}^*(1-R_0)n_0^2}{1+Rd}. \quad (13)$$

Используя представление формулы (12) для $E_{\text{соб}}(N)$ под знаком интеграла в выражении (2), а также интегрируя это выражение по поверхности системы, получаем:

$$E_{\text{рез}} = \frac{1}{F}(1-R) \int_F \int_F \hat{E}_{\text{соб}}^{(1)}(N)\Gamma(M, N) dF_N dF_M + \frac{1}{F}(1-R) \int_F \int_F \hat{E}_{\text{соб}}^{(2)}(N)\Gamma(M, N) dF_N dF_M + \frac{1}{F}(1-R) \int_F \int_{FV} \hat{\eta}_{\text{соб}}(P)Z(M, P) dV_P dF_M - E_{\text{пад}}^*(1-R_0)n_0^2. \quad (14)$$

В состоянии термодинамического равновесия излучающей (поглощающей) системы и окружающей среды $E_{\text{рез}} \equiv 0$, $E_{\text{в}}(P) = E_{\text{в}}$, $E_{\text{пад}}^* = E_{\text{в}}$, $\alpha(P) = \alpha$, $\hat{\eta}_{\text{соб}}(P) = \hat{\eta}_{\text{соб}} = 4n^2\alpha E_{\text{в}}$, при этом двойные интегралы, учитывающие процессы многократного отражения от внутренней поверхности рассматриваемых осесимметричных систем, определяются простейшими соотношениями [1]:

$$\frac{1}{F} \int_F \int_F \Gamma(M, N) dF_N dF_M = \frac{d}{1-Rd}, \quad (15)$$

$$\frac{4\alpha}{F} \int_F \int_V Z(M, P) dV_P dF_M = \frac{1-d}{1-Rd}. \quad (16)$$

На основании этих соображений, а также учитывая выражение оптического инварианта (7) из уравнения (14), получаем уравнение замкнутости. Оно записывается в форме балансового соотношения относительно интегральных значений поглотительной A^* , пропускательной D^* и отражательной R^* способностей осесимметричной системы, обладающей поглотительной способностью α и коэффициентом преломления n [1]:

$$A^* + D^* + R^* = 1. \quad (17)$$

Здесь

$$A^* = \frac{(1-R)n^2(1-d)}{1-Rd}, \quad (18)$$

$$D^* = \frac{(1-R)^2 n^2 d}{1-R^2 d^2}, \quad (19)$$

$$R^* = 1 - (1-R)n^2 + \frac{R(1-R)^2 n^2 d^2}{1-R^2 d^2}, \quad (20)$$

где $d = d(\alpha L)$, L — характерный размер системы.

Ниже проводится анализ оптических свойств осесимметричных систем, представленных плоским слоем и сферой. В случае плоского слоя [2]

$$d = 2K_3(h_0), \quad (21)$$

где $K_3(h_0) = \int_0^1 e^{-h_0/\mu} \mu d\mu$ — экспоненциальный интеграл от оптической толщины

$h_0 = \alpha L$ (L — толщина слоя). В случае сферы [2]

$$d = \frac{1}{2h_0} \left[1 - (1 + 2h_0) e^{-2h_0} \right], \quad (22)$$

где $h_0 = \alpha \rho_c$ — оптическая толщина сферы (ρ_c — радиус сферы).

Формулы (18)–(20) справедливы в рамках применимости оптического инварианта (7), используемого при рассмотрении процессов отражения на вогнутых поверхностях. Для учета влияния вогнутости система уравнений (7), (18)–(20) дополняется обобщенным оптическим инвариантом, предложенным в [1], и записывается в виде:

$$(1 - R_{\text{эф}})n^2 = (1 - R^*)n_0^2. \quad (23)$$

Здесь $R_{\text{эф}}$ — эффективное значение полусферического коэффициента отражения на внутренней, вогнутой поверхности.

Таким образом, вычисление оптических свойств рассматриваемых осесимметричных систем осуществляется в следующем порядке:

– по формуле Уолша–Данкла [3]

$$R_0 = \frac{1}{2} + \frac{(n-1)(3n+1)}{6(n+1)^2} - \frac{2n^3(n^2+2n-1)}{(n^2+1)(n^4-1)} + \frac{8n^4(n^4+1)}{(n^2+1)(n^4-1)^2} \ln(n) + \frac{n^2(n^2-1)^2}{(n^2+1)^3} \ln \frac{n-1}{n+1},$$

для заданного значения n/n_0 вычисляется R_0 ,

– с помощью оптического инварианта (7) определяется значение коэффициентов отражения R на внутренней поверхности системы,

– по формулам (18)–(20), с учетом (21), (22) для вычисления d рассматриваемой конфигурации, вычисляются значения A^* , D^* , R^* в первом приближении;

– по найденному значению R^* с помощью (23) вычисляется эффективное значение коэффициента отражения $R_{\text{эф}}$ на внутренней поверхности системы;

– по формулам (18)–(20), в которых R заменяется на $R_{\text{эф}}$, вычисляются уточненные, таким образом, значения A^* , D^* , R^* ,

– в качестве критерия оценки точности расчетов привлекается условие (17).

Ниже представлены результаты численного анализа оптических свойств плоского слоя и сферы, образованных средами с оптической толщиной $h_0 = 0-6, 0$ и показателями преломления $n = 1,5, 2,0, 2,5, 3,0$ при $n_0 = 1$.

На рис. 1 представлены зависимости $A^* = A^*(h_0)$, $D^* = D^*(h_0)$ и $R^* = R^*(h_0)$ в плоском слое для указанных выше значений n . Видно, что поглощательная способность слоя монотонно увеличивается с ростом его оптической толщины, а уровень ее значений понижается по мере увеличения показателя преломления (см. рис. 1, *a*). Отражательная способность резко падает при увеличении оптической толщины от нуля до $h_0 = 1$ и остается практически неизменной при $h_0 > 1$. Уровень ее значений монотонно увеличивается вместе с показателем преломления (рис. 1, *b*). Пропускательная способность внутренней границы D^* монотонно падает при росте оптической толщины, причем ее нулевые значения смещаются в область меньших значений (от $h_0 = 4,0$ до $h_0 = 2$) по мере увеличения показателя преломления (см. рис. 1, *c*).

На рис. 2 представлена зависимость $A^* = A^*(n)$, $R^* = R^*(n)$, $D^* = D^*(n)$ для значений от $h_0 = 0$ до 1,0. При росте оптической толщины поглощательная способность параметра A^* монотонно увеличивается с увеличением показателя преломления (см. рис. 2, *a*). Однако начиная с $h_0 = 0,2$ возникает экстремальная область значений, смещающаяся по оси n в область малых значений по мере увеличения h_0 . Начиная от значений $h_0 \leq 0,5$, поглощательная способность A^* падает по мере увеличения n . При $h_0 \sim 0,6$ значения A^* слабо зависят от n .

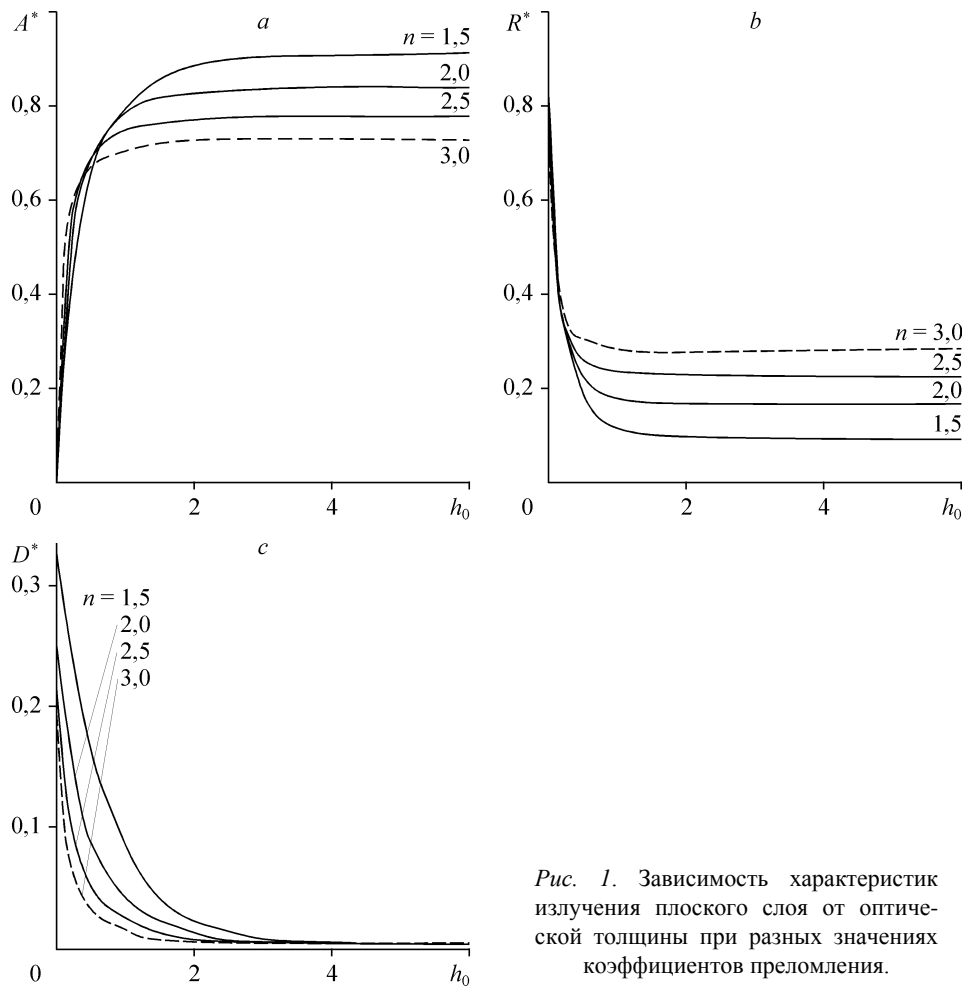


Рис. 1. Зависимость характеристик излучения плоского слоя от оптической толщины при разных значениях коэффициентов преломления.

Отражательная способность R^* с ростом n монотонно увеличивается в области значений $h_0 = 1,0$. При $h_0 > 1,0$ значения $R^* = R^*(n)$ слабо отличаются от значений $R^*(n)$ при $h_0 = 1,0$. Однако по мере уменьшения оптической толщины h_0 зависимость R^* от n ослабевает. При $h_0 = 0,15$ значения R^* практически не зависят от n и при $h_0 \sim 0,1$ зависимость $R^* = R^*(n)$ приобретает немонотонный характер. При $h_0 = 0$ R^* вновь монотонно увеличивается с ростом n (см. рис. 2, *b*).

Пропускательная способность D^* монотонно падает при росте n во всем диапазоне значений h_0 .

На рис. 3, *a* представлена зависимость $R_{\text{эф}}$ от внутренней поверхности слоя как от оптической толщины слоя (см. рис 3, *a*) для двух значений показателя преломления ($n = 1,5$ и $2,0$), так и от показателя преломления (см. рис 3, *b*) при $h_0 = 0,1, 1,0$ и $2,0$. Как видно, $R_{\text{эф}}$ определяется значениями n , существенно зависящими от h_0 в области ее малых значений ($h_0 \leq 1,0$, см. рис. 3, *a*), и монотонно растет для выделенных значений h_0 с ростом показателя преломления n (см. рис. 3, *b*).

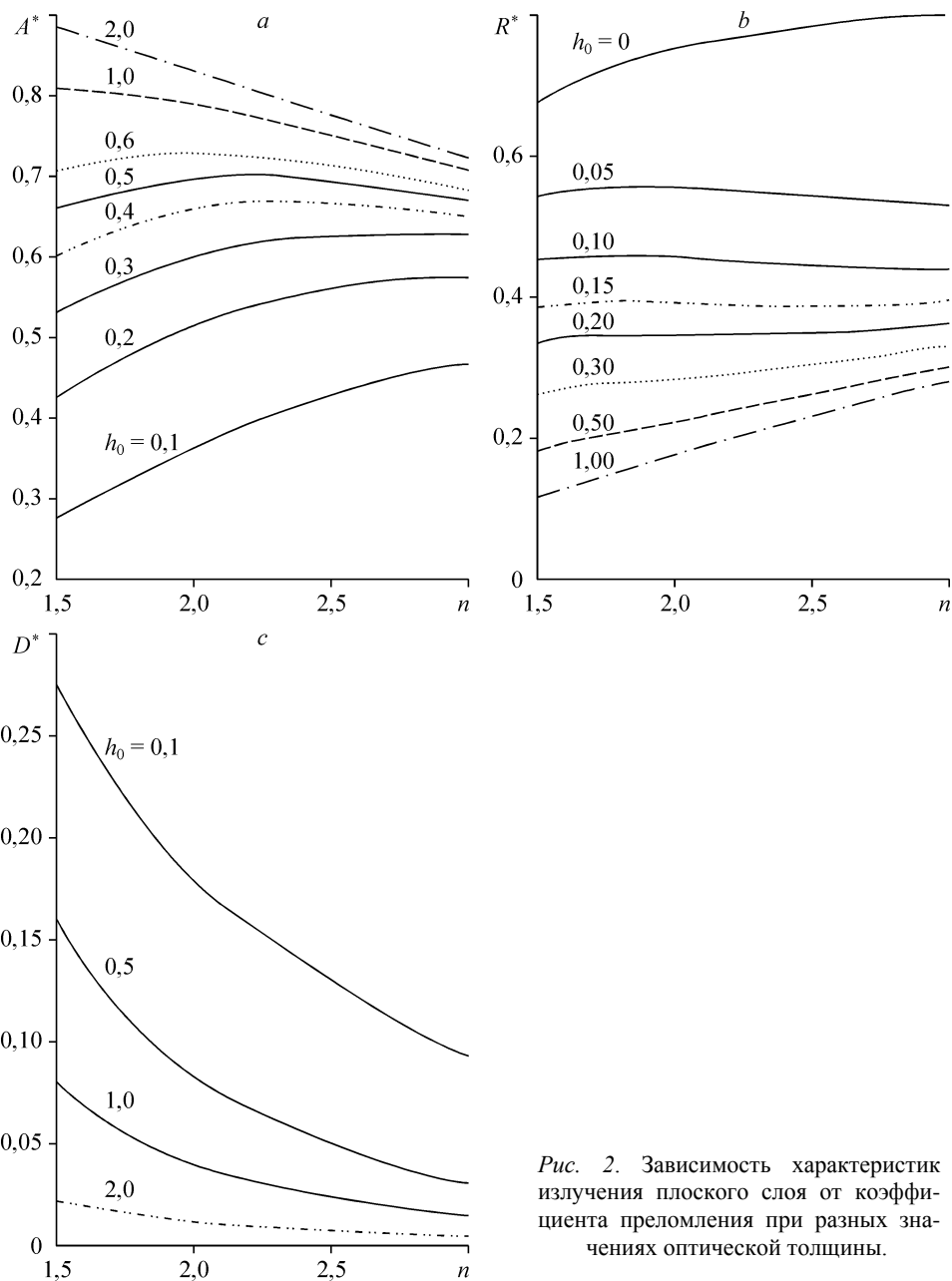


Рис. 2. Зависимость характеристик излучения плоского слоя от коэффициента преломления при разных значениях оптической толщины.

На рис. 4 представлены результаты расчета зависимости поглощательной способности сферического объема A^* от его оптической толщины для показателей преломления $n = 1,5$ (см. рис. 4, *a*) и $n = 2,0$ (см. рис. 4, *b*). При этом пропускательная способность среды d определялась по формуле (22). Приводятся результаты расчетов с учетом R и $R_{\text{эф}}$, полученные значения A^* хорошо согласуются между собой. Здесь же даются значения степени черноты $\varepsilon \equiv A$, приведенные в работе [4]. Как видно, при $n = 1,5$ отмечается совпадение результатов (см. рис. 4, *a*). Однако при $n = 2$ отмечается качественное согласование и некоторое количественное расхождение.

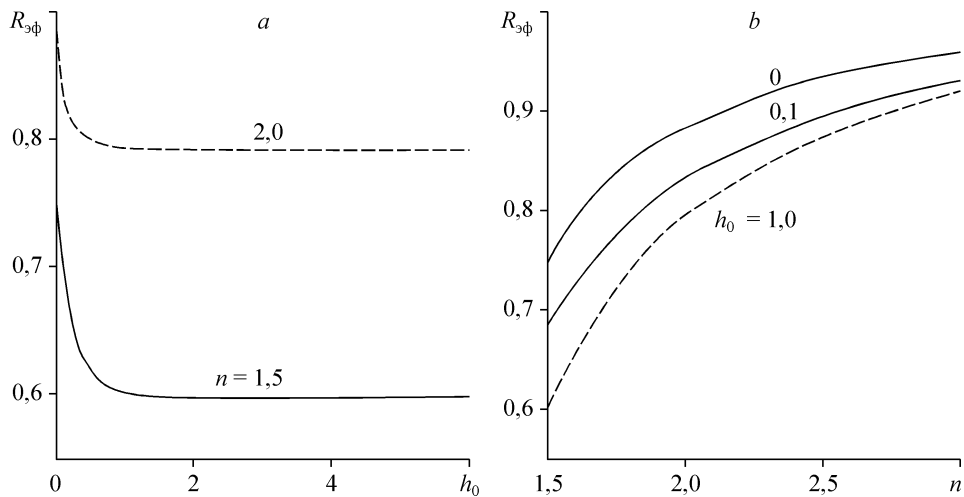


Рис. 3. Зависимость эффективного коэффициента отражения внутренней поверхности $R_{\text{эф}}$ плоского слоя: от оптической толщины при двух значениях коэффициента преломления n (а) и от показателя преломления при трех значениях оптической толщины h_0 (б).

Представленный анализ говорит о неоднозначном влиянии на свойства теплового излучения рассматриваемых осесимметричных систем показателя преломления, коэффициента объемного поглощения и геометрии. Использование оптического инварианта (7) для установления связи между коэффициентом полусферического отражения наружных и внешних поверхностей границы является приближенным подходом в той мере, в какой оказывается использование приближения геометрической оптики. Указанные соображения относятся и к привлечению обобщенного инварианта излучения (23). Тем не менее, описанный выше анализ свидетельствует о применимости подобного подхода в приближенном анализе свойств теплового излучения рассматриваемых систем.

Следует обратить внимание на корректный учет объемного поглощения (излучения) и процессов многократного отражения, вытекающий из интегральных уравнений излучения (1) и (2).

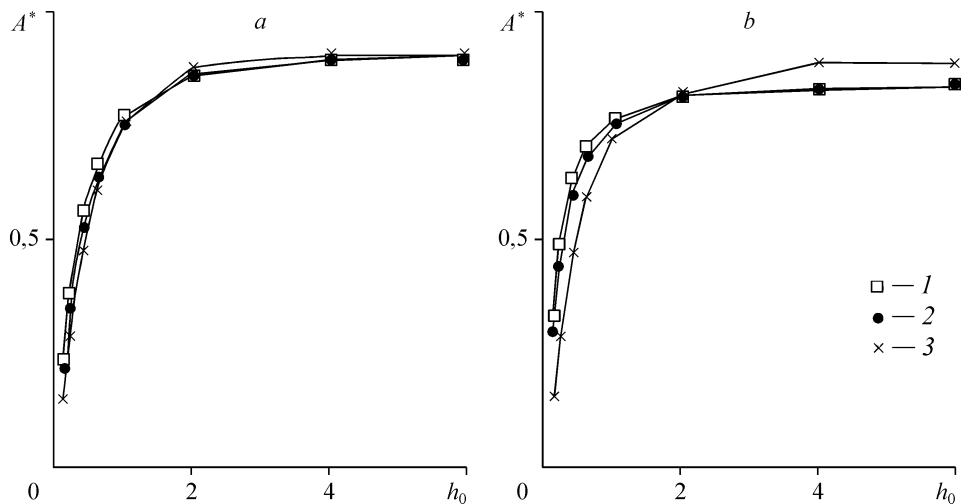


Рис. 4. Зависимость поглощательной способности сферы от оптической толщины $h_0 = \alpha r_c$ для двух значений показателя преломления $n = 1,5$ (а) и $2,0$ (б) с учетом: значения R (1), значения $R_{\text{эф}}$ (2), данных работы [4] (3).

Поскольку в работе анализируется монохроматическое излучение, то приводимые результаты могут быть обобщены и на интегральное по спектру излучение.

Учет зависимости эффективного коэффициента отражения от показателя преломления и оптической толщины системы принципиально важен при рассмотрении нестационарных краевых задач о радиационно-кондуктивном теплообмене в системах с проницаемыми для теплового излучения границами, претерпевающими фазовый переход. В частности, при рассмотрении однофазной задачи Стефана в плоском слое изменение оптической толщины слоя в процессе его плавления может приводить к существенному увеличению эффективного коэффициента отражения от внутренних поверхностей и снижению роли теплового излучения в процессах теплообмена в образующемся при оплавлении оптически тонком слое.

СПИСОК ЛИТЕРАТУРЫ

1. Рубцов Н.А. Тепловое излучение осесимметричных полупрозрачных систем // Теплофизика и аэромеханика. — 2008. — Т. 15, № 2. — С. 313–323.
2. Рубцов Н.А. Тепловое излучение в сплошных средах. — Новосибирск: Наука, Сибирское отделение. — 1984. — 277 с.
3. Оцисик М.Н. Сложный теплообмен. — М.: Изд-во Мир, 1976. — 616 с.
4. Домбровский Л.А. Тепловое излучение сферической частицы из полупрозрачного материала // Теплофизика высоких температур. — 1999. — Т. 37, № 3. — С. 284–293.

Статья поступила в редакцию 4 июля 2008 г.